

طراحی کاست ژنی، کلونینگ و بیان پلی‌پیتید شبه الاستین نوترکیب به منظور تولید بیومتریال کاربردی در مهندسی بافت

محمد رضا سلیمان^۱ (M.Sc)، مصطفی خلیلی^{۲*} (M.Sc)، علیرضا سلیمان میگونی^۱ (M.Sc)، هادی محمدزاده فاشقایی^۱ (M.Sc)، ادیب زنده‌دل^۴ (Ph.D)، مریم بازرم^۵ (Ph.D)

۱- گروه علوم پایه، دانشگاه آزاد اسلامی، واحد خمین، خمین، ایران

۲- مرکز تحقیقات انتقال خون، موسسه عالی آموزش و پژوهش در طب انتقال خون، تهران، ایران

۳- مرکز منطقه‌ای انتقال خون اراک، اراک، ایران

۴- گروه علوم تشریح، دانشکده پزشکی، دانشگاه علوم پزشکی گیلان، رشت، ایران

۵- گروه علوم تشریح، دانشکده پزشکی، دانشگاه علوم پزشکی اراک، اراک، ایران

چکیده

سابقه و هدف: پلی‌پیتید شبه الاستین (Elastin-like polypeptide، ELP) بیومتریال مصنوعی برگرفته از توالی پنتاپیتید (Val-Pro-Gly-Xaa-Gly) (VPGXG) است. پلیمرهای پروتئینی که از واحدهای تکراری اسیدهای آمینه طبیعی و غیرطبیعی پدید می‌آیند، به عنوان رده‌ای جدید از بیومواد شناخته می‌شوند. ویژگی‌های منحصر به فرد ELP همانند تولید بر پایه بیان ژنتیکی در انواع رده‌های میزبانی (به عنوان مثال باکتری‌ها و سلول‌های یوکاریوت)، تحریک‌پذیری تحت تاثیر عوامل محیطی، زیست سازگاری و زیست تخریب‌پذیری مولکول‌های ELP باعث جذابیت استفاده از آن در بیوتکنولوژی و پزشکی می‌گردد.

مواد و روش‌ها: در این مطالعه، الیگومریزاسیون ساختار ژن ۳۳۰ جفت باز مونومری GRGDS-ELP (بیان‌کننده ۲۱ پنتاپیتید) تا تولید ژن تریمر ۹۹۰ جفت بازی (بیان‌کننده ۶۳ پنتاپیتید فیوژن) درون وکتور کلونینگ pUC گرفت. پس از تایید ساختار ژنی با سکوئنسینگ، ساختار ژنی به وکتور بیانی MOD-pET-SAP کلون گشته و به میزبان *E.coli* انتقال یافت.

یافته‌ها: بیان پروتئین نوترکیب توسط IPTG القاء گشت و صحت پروتئین نوترکیب توسط PAGE-SDS و وسترن‌بلاتینگ تایید گردید.

نتیجه‌گیری: با روش به کار رفته ELP جهت مطالعات بعدی به دست آمد.

واژه‌های کلیدی: الاستین، پیتیدها، پروتئین‌های نوترکیب، نانو ساختارها، مهندسی بافت

مقدمه

دارویی، بیوسنسورها و انتقال دهنده‌های پیام، راه خود را در بیوتکنولوژی پیدا کردند [۱]. بهبود طراحی و تولید داربست‌های حمایت‌کننده رشد سلول و بافت، از عوامل مهم پیشرفت فعلی در مهندسی بافت است، به نحوی که بیومتریال‌های طبیعی و مصنوعی با قرار گرفتن در سطح مشترک علوم زیستی و کاربردهای گوناگون در حوزه علوم مواد هم‌چون ساخت بیومتریال‌های مهندسی بافت، ناقل‌های

به علت کنترل دقیق در سنتر حاصل از کد شدن بر پایه اطلاعات ژنتیکی و قابلیت کنترل ویژگی هایی همچون ساختار اولیه پلیمر، توالی، طول زنجیره و شیمی فضایی مولکول، از دیدگاه دانش علوم مواد دارای جذابیت می باشد. همچنین، این مواد دارای ویژگی های مکانیکی، شیمیابی و بیولوژی مفیدی می باشند که باعث جذابیت استفاده از این مواد در شرایط آزمایشگاهی (in vivo) به عنوان بیومتریال در ساختارهای مهندسی بافت می گردد [۱۴-۱۲]. قابلیت فیوژن کردن پلی پپتید شبه الاستین با توالی ها و بلوك های پروتئینی زیست فعال مانند داروها، سایتوکین و فاکتورهای رشد و موتفیهای اتصال سلولی سبب گردیده است تا بیومتریال کاربردی برای مهندسی بافت فراهم آید.

GRGDS توالی از اسیدهای آمینه گلیسین- آرژنین- گلیسین- آسپارژین- سرین (Gly-Arg-Gly-Asp-Ser) از موتفیهای شناخته شده اتصال سلولی است که در اتصال سلول به کلازن، ویترونکتین، استئوپوتین، فیبرونکتین و تنتاکتین C مؤثر است [۱۵-۱۷]. توالی GRGDS یکی از مؤثرترین موتفیهای شناخته شده است که برای تحریک اتصال سلول ها بر سطح مواد مصنوعی کاربرد دارد، به نحوی که یکی از پر کاربرد ترین مواد سنتزی برای پوشاندن سطوح، جهت افزایش واکنش های بیولوژی است. این توالی قادر است تمایل و اختصاصیت به رسپتور را هنگامی که در میان سایر توالی های پروتئین است، حفظ کند [۱۸-۲۰].

در این مطالعه بر آن شدیم تا با استفاده از ابزارهای مهندسی ژنتیک، بیوپلیمری فیوژن از پلی پپتید شبه الاستین و توالی اتصال سلولی (GRGDS-ELP)، به صورت زیست فعال برای اهداف مطالعاتی آتی مهندسی بافت تهیه نماییم.

مواد و روش ها

مواد. در این مطالعه از آنزیم های محدود الاثر BglII، SfII، BamHI، EcoRI، restriction enzyme)، pflMI و آنزیم آلكالن فسفاتاز ساخت شرکت Fermentas، آنزیم های T4 DNA Ligase و pfu DNA polymerase

بیومتریال ها در کنار سلول و سیگنال های مولکولی، از بخش های اصلی مهندسی بافت شناخته می شوند [۲]. بیوپلیمر های مبتنی بر پروتئین، جایگزینی مطمئن برای ترکیبات شیمیابی سنتر شده می باشند که به صورت معمول در پزشکی و بیوتکنولوژی کاربرد دارند [۳]. پلیمر های پروتئینی که از واحدهای تکراری اسیدهای آمینه طبیعی و غیرطبیعی پدید می آیند، به عنوان رده ای جدید از بیومواد شناخته می شوند [۴، ۵]. پروتئین الاستین انسانی از اجزای پروتئین های اصلی ماتریکس خارج سلولی است که عامل مهم ایجاد حالت ارجاعی و مقاومت در بسیاری از بافت های پیوندی مهره داران از جمله: دیواره رگ های خونی، ریه، لیگامنت، تاندون، پوست و غضروف ها می باشد [۶]. الاستین توسط آنزیم لایزیل اکسیداز یا دیگر اعضاء خانواده آنزیم loxlike از طریق پیوند پروتئین های پیش ساز خود (تروبیوالاستین) ایجاد می گردد. طول و ساختار تروبیوالاستین بستگی به پیرایش متنابوب (splicing alternative) حین سنتر آن دارد، به صورتی که طول پروتئین تروبیوالاستین در نهایت به ۷۰ - ۶۰ کیلو دالتون می رسد که حاوی کمتر از ۸۰۰ زیر واحد اسید آمینه ای می باشد [۷، ۸].

توالی تروبیوالاستین دارای دو دمین غالب است: ۱) توالی هیدروفیلیک که حاوی پیوندهای متقاطع فراوان بین اسیدهای آمینه آلانین و لایزین می باشد، ۲) توالی هیدروفویلیک که حاوی اسیدهای آمینه غیرقطبی از جمله والین (V)، پرولین (P)، آلانین (A) و گلایسین (G) است. این ساختار هیدروفوب، به صورت توالی تکرارهای چهارتایی، پنج تایی و شش تایی VPGVG، VPGGG و APGVG می باشد. این دمین هیدروفوب، باعث خاصیت الاستیسیته مولکول الاستین می شود [۹، ۱۰]. پلی پپتید شبه الاستین (ELP: Elastin like protein)، بیوپلیمری مصنوعی، برگرفته از دمین هیدروفوب تروبیوالاستین با توالی (Val-Pro-Gly-Xaa-Gly) است poly (Val-Pro-Gly-Xaa-Gly) می تواند هر نوع اسید آمینه ای به جزء پرولین که زیر واحد Xaa می تواند هر نوع اسید آمینه ای به جزء پرولین باشد [۱۰، ۱۱]. پلی پپتید شبه الاستین، گروهی از این نوع بیوپلیمر های برگرفته از ساختار پروتئین الاستین می باشند که

برش با آنزیم‌های REI و REII و BamHI و EcoRI) و UC18 pخطی شده با همین انتهای چسبان، مکمل با وکتور insert و وکتور خطی شده پس از آنزیم‌ها را می‌کند. زن‌های insert و وکتور خطی شده پس از جداسازی و تخلیص از ژل آگارز توسط کیت تخلیص DNA (Roche, Germany)، توسط آنزیم T4 لیگاز در دمای ۲۲ درجه سانتی‌گراد به مدت ۱ ساعت به یکدیگر ملحه شدن. ساختار وکتور حاصله توسط روش شوک حرارتی به سلول میزبان مستعد شده با روش شیمیایی CaCl₂ منتقل گردید. باکتری‌های ترانسفورم شده با بررسی کلونی‌های سفید و آبی به روی پلیت حاوی X-gal و مقاومت به آمپیسیلین شناسایی شدند. تایید نهایی باکتری‌های ترانسفورم شده، توسط PCR colony بر اساس جدول ۲ انجام گرفت با این تفاوت که از آنزیم Taq پلیمراز استفاده شد و زمان بسط (extention) ۴۵ ثانیه در نظر گرفته شد. صحت نهایی توالی حاصل از PCR sequencing colony تایید گردید.

الیگومریزه کردن زن ELP. پس از انجام اولین مرحله، ساختار وکتور pUC18 ابتدایی حاوی (V₇-I₃)₂-GRGDS) برای به هم پیوستن زن‌های ELP مونومری تا رسیدن به طول مورد نظر ایجاد گردید. در طی هر مرحله از Recursive directional ligation (RDL)، وکتور حاصله از RDL دور قبیل به عنوان ماده اولیه در طی مراحل بعدی استفاده گردید. به عنوان مثال، ساختار زنی (V₇-I₃)₂-GRGDS) با متصل شدن قطعه insert حاوی زن بیان‌کننده ELP ایجاد گردید. وکتور pUC18 حاوی یک کمی از زن مونومری ایجاد گردید. وکتور pUC18 ایجاد شده در طی مراحل بعدی در خطا در آمده و با آنزیم آلکالن فسفاتاز دفسفریله گردید. در نهایت وکتور خطی شده، از ژل آگارز توسط کیت استخراج شد. برای ایجاد زن insert مکمل وکتور خطی شده، PCR با کمک پرایمرهای جدول ۱ و آنزیم pfu DNA pUC18 ایجاد شده در مرحله قبل به عنوان الگو با انجام مراحل ذکر شده در جدول ۲ با زمان Extention (بسط) ۱ دقیقه‌ای، انجام گرفت. محصول

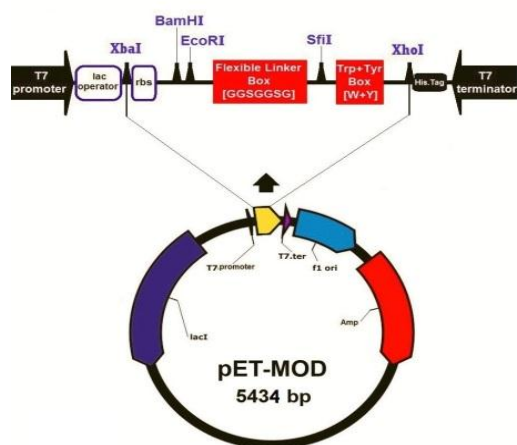
(DE3) 21BL E. coli و از سویه Vivantis ساخت شرکت استفاده شده است. جهت بیان پروتئین نوترکیب طراحی و سنتز زن مونومری سنتتیک بیان‌کننده پلی‌پیتید شبیه الاستین به همراه توالی اتصال سلولی ELP[(I_i-V_v)_n-GRGDS] با فرمول کلی GRGDS شد. به صورتی که حروف V (والین) و I (ایزولوسین) درون پرانتز، کد تک حرفی اسید آمینه جای‌گذاری شده در جایگاه چهارم یا همان اسید آمینه مهمان (X_{aa}) پنتامر ELP و حروف v مشخص‌کننده تعداد تکرارهای پنتامر (VPGX_{aa}G) نسبت به زیرواحدهای (I&V) جای گرفته در زن مونومر ELP می‌باشد. طول کلی پروتئین بیانی منطبق با Open reading frame (ORF) GRGDS+ELP که مشخص‌کننده کل تکرارهای پنتاپیتید است، با حرف n مشخص گردیده است. زن سنتتیک مونومری استفاده شده در این مطالعه با فرمول [(V₇-I₃)₂-GRGDS] ORF و ORF بیانی منطبق با طول ۲۰ تکرار از پنتاپیتید ELP در کنار ۱ واحد GRGDS با طول برابر ۳۶۱ جفت باز، حاوی نسبت ۷/۳ از اسید آمینه‌های والین به ایزولوسین در جایگاه‌های X_{aa} مولکول ELP طراحی شد. در دو انتهای ۵' و ۳' زن، چهار ناحیه شناسایی آنزیم محدود‌الاثر جای‌گذاری شده است. محل شناسایی آنزیم‌های REI و REII (EcoRI و BamHI) و آنزیم‌های REIV و REIII (BglII و pfIMI) درون دو جایگاه REI و REII برای الیگومریزه کردن زن ELP در انتهای زن جای‌گذاری شده است. زن طراحی شده توسط شرکت بیوماتیک (Canada-Biomatik) سنتز گردید.

کلونینگ زن مونومری ELP در وکتور کلونینگ pUC18. تکثیر زن سنتزی با کمک آنزیم pfu پلیمراز در حجم ۲۵ میکرولیتر با استفاده از ۰/۲٪ میکرومولار از هر یک از پرایمرهای جدول ۱، ۲۰۰ میکرومولار از هر یک از دئوکسی نوکلئوتید تری‌فسفات (dNTP)، ۳ میکرولیتر از محلول پلاسمیدی تخلیص شده، ۱/۵ میلی‌مولار یون منیزم و بافر، طبق برنامه جدول ۲ انجام گرفت. زن مونومری پس از

شده توسط سرور expasy.org/protpara مورد بررسی قرار گرفتند.

بیان و بررسی پروتئین‌های نوترکیب. میزبان [ELP(V₇-I₃)₂-GRGDS] E.coli - B21 (DE3) [pET-MOD I₃]-GRGDS]، جهت بیان پروتئین نوترکیب استفاده گردید. به صورت کلی، کشت میزبان در اrlen حاوی ۱۰۰ ml از محیط کشت Terrific Broth و ۱۰۰ ml/µg دور در دقیقه انجام گرفت. بعد از این‌که OD ۰/۶ به آمیسیلین در دمای ۳۷ درجه سانتی‌گراد و با سرعت ۲۲۰ دور در دقیقه انجام گرفت.

رسید، القا سنتز پروتئین با اضافه کردن ۱ میلی‌مول Isopropyl-β-D-thiogalactopyranoside (IPTG) انجام گرفت و ادامه انکوباسیون باکتری‌ها در شرایط مذکور جهت سنتز پروتئین‌های نوترکیب ادامه یافت. برای بررسی میزان پروتئین‌های نوترکیب بیان شده، نمونه‌های باکتری به میزان ۱ میلی‌لیتر برداشته شد و پس از سانتریفیوژ با دور ۵۰۰۰ g به مدت ۱۵ دقیقه در دمای ۴ درجه سانتی‌گراد از محلول رویی Sodium dodecyl sulphate- جدا و در محلول لودینگ بافر polyacrylamide gel electrophoresis (SDS-PAGE) مدت ۱۰ دقیقه جوشانده شد. سپس نمونه‌ها بر روی ژل SDS-PAGE بارگیری گردید. پس از اتمام الکتروفورز، بررسی پروتئین‌ها توسط رنگ آمیزی منفی ژل توسط ZnSO₄ انجام گرفت [۲۱].



شکل ۱. تصویر شماتیک وکتور pET-MOD

PCR حاصله با آنزیم‌های pfIMI و BglII به صورت دو تایی برش خورده و سپس از ژل آکارز استخراج گردید. در نهایت ژن insert ایجاد شده و وکتور خطی به هم متصل گشته و به میزبان (E.coli - B21 (DE3)) انتقال یافته. روش توضیح داده شده در بالا برای ساخت ELP[(V₇-I₃)₂-GRGDS]₃-pUC18 نیز تکرار گردید. سلول‌های ترانسفورم شده در نهایت colony PCR و سکوئنسینگ محصول و PCR همچنین با کمک برش آنزیم‌های محدودالاثر و بررسی قطعه حاصله مورد تایید قرار گرفتند.

بهینه‌سازی، ساب کلونینگ و بررسی بیوانفورماتیکی ژن‌های ELP الیگومریزه شده در وکتور pET-MOD از وکتور بیانی pET-MOD تولید شده در مطالعات قبلی، برای بیان ژن ELP الیگومریزه استفاده شد. این وکتور از طریق بهینه‌سازی و جایه‌جایی توالی ما بین دو جایگاه شناسایی آنزیم XbaI و XhoI در وکتور (+) pET32(+)، که یک وکتور بیانی پر کاربرد بر پایه T7-promoter است، ایجاد گردید. وکتور بیانی pET-MOD با آنزیم SfII دایجست شده و پس از دفسفریله شدن، خطی گردید. پس از انجام الکتروفورز، وکتور خطی از ژل آکارز با کیت تخلیص گردید. پس از الیگومریزه کردن ژن ELP، توالی‌های حاصل تولید شده درون وکتور خانه آنکارز توسط کیت تخلیص شدند. در سه واکنش مجزا، وکتور خطی شده pET-MOD با آنزیم SfII و ژن‌های کدکننده ELP از طریق آنزیم Ligase-T7 به یک دیگر ملحق و وکتورهای نوترکیب حاصله به میزبان BL21 - E.coli ترانسفورم شدند. سلول‌های ترانسفورم شده در نهایت توسط colony PCR و سکوئنسینگ محصول PCR بررسی شد. به منظور بررسی صحت ساختار و ORF ژن‌های فیوژن ELP از نرم‌افزار PC plasmaDNA (version1.4.2) استفاده گردید. در نهایت مشخصات فیزیکی و شیمیایی توالی‌های نوترکیب پیش‌بینی

دماه اتاق به مدت ۱ ساعت پوشانده شد. پس از سه بار IgG anti-histone PBST، غشاء با آنتی بادی Horseradish peroxidase (HRP) antibody کونزروگه با Rقت ۱/۸۰۰۰ در دمای اتاق مجاور شد. پس از شستشو، باند پروتئینی با اضافه کردن mg/ml ۰/۵ دی‌آمینو بنزیدین و ۰/۰۱ درصد آب اکسیژنه آشکار شد. سپس واکنش با آب مقطر متوقف گردید.

تایید پروتئین‌های نوترکیب. برای تایید پروتئین نوترکیب Anti-His Tag آنتی بادی ایجاد شده از روش وسترنبلات و آنتی بادی استفاده شد. به این ترتیب که پس از تفکیک باندهای پروتئینی با الکتروفورز SDS-PAGE این باندها با کمک بافر انتقال SDS و ۲۰ درصد متانول) به کاغذ نیتروسلولز منتقل شد. کاغذ نیتروسلولز با استفاده از بافر Phosphate Buffer saline (PBS) حاوی ۲۰ درصد آلبومین سرم گاوی در tween-20 (PBST)

جدول ۱. توالی پرایمرهای مورد استفاده جهت کلوزنگ ژن منومری ELP

نام پرایمر	توالی پرایمر
M13-20 forward	5'-GTAAACAGACGGCCAGT-3'
M13-20 reverse	5'-GGAACAGCTATGACCATG-3'

جدول ۲. برنامه PCR جهت تکثیر ژن منومری colony PCR و ELP باکتری های ترانسفورم شده

زمان	درجه حرارت (درجه سانتیگراد)	مرحله PCR
۴ دقیقه	۹۴	واسرشتگی (Primary denaturation)
۴۵ ثانیه	۹۴	Secondary denaturation
۴۵ ثانیه	۵۰	اتصال (Annealing)
۴۵ ثانیه	۷۲	(Extension) بسط
۷ دقیقه	۷۲	Final extension

جدول ۳. بررسی بیوافورماتیکی پروتئین‌های فیوژن پلی پیتید شبه الاستین

فرمول مولکولی	پیش‌بینی شده ORF	تعداد اسید آمینه	وزن مولکولی پیش‌بینی شده	PI نظری	شاخص آلفاپاتیک
ELP[(V7-I3)2-GRGDS] 1	MGSEFGSSGGSGPGVGPGVGPGVGPGVGPGVG GIGVPGCVPGIGVPGVGPGVGPGVGGRGDSVPVG VPGVGPGVGPGIGVPGVGPGVGIGVPGVGPGIGVPG GVPGVGPGWPWYWLEHHHHHH	۱۳۹	۱۲۵۷۲/۴	۶/۲۵	۹۴/۷۵
ELP[(V7-I3)2-GRGDS] 2	MGSEFGSSGGSGPGVGPGVGPGVGPGVG GIGVPGCVPGIGVPGVGPGVGPGVGGRGDSVPVG VPGVGPGVGPGIGVPGVGPGVGIGVPGVGPGIGVPG GVPGIGVPGVGPGVGPGVGPGVGIGVPGVGPGIGVPG PGVGPGIGVPGVGPGVGIGVPGVGPGIGVPGVGPGVG VPGWPWYWLEHHHHHH	۲۴۹	۲۱۷۲۸/۲	۶/۲۵	۱۰۴/۲۲
ELP[(V7-I3)2-GRGDS] 3	MGSEFGSSGGSGPGVGPGVGPGVGPGVG GIGVPGCVPGIGVPGVGPGVGPGVGGRGDSVPVG VPGVGPGVGPGIGVPGVGPGVGIGVPGVGPGIGVPG GVPGIGVPGVGPGVGPGVGPGVGIGVPGVGPGIGVPG PGVGPGIGVPGVGPGVGIGVPGVGPGIGVPGVGPGVG VPGVGPGVGPGVGPGVGIGVPGVGPGIGVPGVGPGVG GVPGVGPGVGPGVGPGVGIGVPGVGPGIGVPGVGPGVG GIGVPGVGPGIGVPGVGPGIGVPGVGPGIGVPGVGPGPW YWWLEHHHHHH	۲۵۹	۳۰۸۸۴/۱	۶/۲۵	۱۰۸/۸۸

در نهایت Sequencing صحت توالی را تایید کرد. تکنیک PCR و پرایمرهای اختصاصی استفاده شد و E.coli-DH5α انتقال یافت. برای تایید کلونی‌های حاصل از آنژیم‌های REI و REII کلون گردید (شکل ۴B) و به میزان حاصل توسط آنژیم لیگاز درون وکتور pUC18 خطی شده با EcoRI و BamHI (شکل ۴A). سپس زن

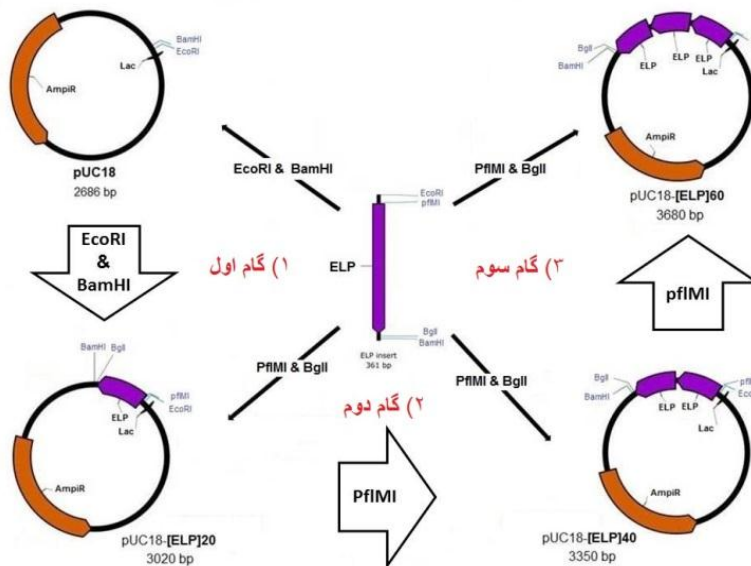
الیگومریزه کردن ژن ELP پس از کلونینگ ژن مونومری ELP درون وکتور pUC18 در مرحله اول، الیگومریزه شدن ELP توالي به صورت زير پيگيري شد. ژن مونومري (insert) ELP (insert) ببيان كننده ۲۰ تكرار پنتاپتيديд تكثير شده با آنزيم pfu پلیمراز، توسط آنزيم های محدود الاثر pfIMI و BglII برش خورد. در مرحله دوم وکتور ساخته شده در مرحله قبل pUC18-ELP[(V₇-I₃)₂-GRGDS]₁ توسط برش با آنزيم pfIMI به صورت خطى در آمده و قطعه insert برش خورده با آنزيم ها توسط آنزيم DNA ليگاز درون وکتور متصل مى گردد تا سازه pUC18-ELP[(V₇-I₃)₂-GRGDS]₂ ايجاد شود. در مرحله سوم، وکتور حاصل از مرحله قبل حاوي ۴۰ تكرار پنتاپتيديد با ژن insert متصل شد و در نتيجه وکتور -pUC18-ELP[(V₇-I₃)₂-GRGDS]₃ به دست آمد. برای تاييد وکتور حاصل، از پرايمرهای اختصاصی (جدول ۱) و برش پلاسمیدهای نوترکيب با آنزيم های pfIMI و BglII و بررسی قطعات حاصل روی ژل آگار، استفاده گردید (شکل ۵).

تاج

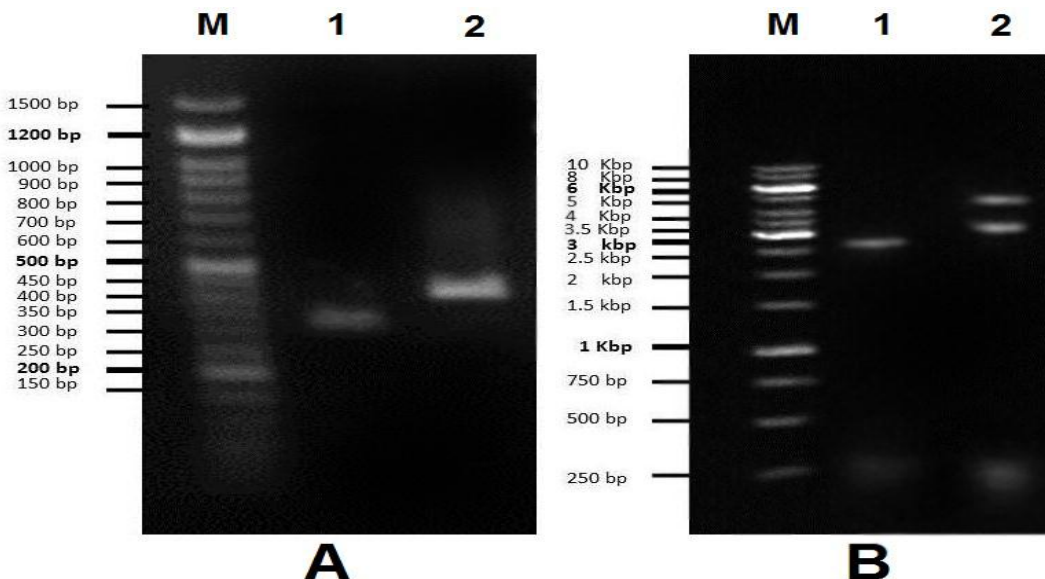
طراحی ژن بیومتریال پلی پپتید شیه الاستین، کاست ژنی ELP[(V₇-I₃)₂-GRGDS]] به گونه‌ای طراحی گردید که آنزیم‌های محدود الاثر REI و EcoRI و REII در دو سمت ژن مونومری، انتهای چسبنده را برای اتصال ژن به وکتور pUC18 بشود با همین آنزیم‌ها فراهم می‌کند. در قسمت داخلی ۲ ناحیه شناسایی آنزیم‌های REI و REII، REIV و REIII وجود دارد (شکل ۲). این توالی‌های شناسایی آنزیم RE IV و RE III برای الیگومریزه کردن ژن ELP به کار می‌رود. مراحل الیگومریزه شدن ژن ELP به صورت شماتیک در شکل ۳ آورده شده است. کاست ELP[(V₇-I₃)₂-GRGDS]]، ابتدا در وکتور pUC18 کلون گردید. ژن insert که توسط بشش با آنزیم‌های RE III و RE IV پدید می‌آید، با وکتور ELP[(V₇-I₃)₂-GRGDS]]، به صورت مکمل است. ژن‌های آنزیم REIII (pfMI) خالص شده با قرار گرفتن درون وکتور خطی منجر به افزایش طول شدن ژن ELP شدند.

کلونینگ ژن مونومری₁ ELP[(V₇-I₃)₂-GRGDS] در وکتور کلونینگ pUC18، در ابتدا ژن مونومری ELP، با کمک آنزیم Pfu پلیمراز، با صحت بالا تکثیر شده و محصول به منظور سایر کلونینگ توسط آنزیمهای REI و REII دارد.

شکل ۲. تصویر ژن مونومر سنتری به همراه جایگاه شناسایی آنزیم و توالی پیانی¹ ELP[(V₇-I₃)₂-GRGDS]



شکل ۳. تصویر شماتیک از مراحل الیگومر شدن ژن ELP



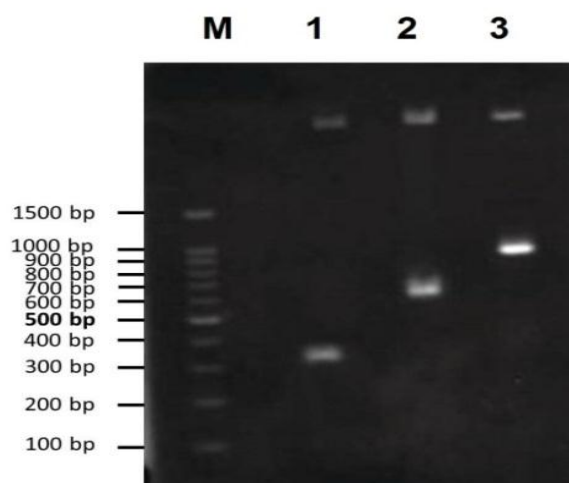
شکل ۴. ستون M: مارکر، ستون ۱: قطعه ۲۵۵ bp نوکلئوتیدی حاصل از برش با آنزیم های EcoRI و BamHI ، ستون ۲ : قطعه ۴۴۱ bp نوکلئوتیدی محصول PCR با آنزیم pfu DNA پلیمراز (A). ستون M: مارکر، ستون ۱: وکتور pUC18 دایجست شده با آنزیم های EcoRI و BamHI ، ستون ۲: وکتور pUC18 p تخليص شده با تكينيك (B) miniprep

نوترکیب از طریق القاء با IPTG صورت گرفت. ۲۴ ساعت پس از القاء بیان پروتئین های نوترکیب، سلول ها با سرعت ۱۰۰۰۰ دور در دقیقه از محیط کشت جدا و دیواره باکتری ها توسط سونیکاتور تخریب شدند. بررسی تولید پروتئین نوترکیب از طریق تکنیک های SDS-PAGE و وسترن بلات انجام گرفت و وجود هر سه پروتئین های فیوژن وکتور $(V_7-I_3)_2$ -GRGDS] $_{(1,2,3)}$ تایید شد (شکل ۶).

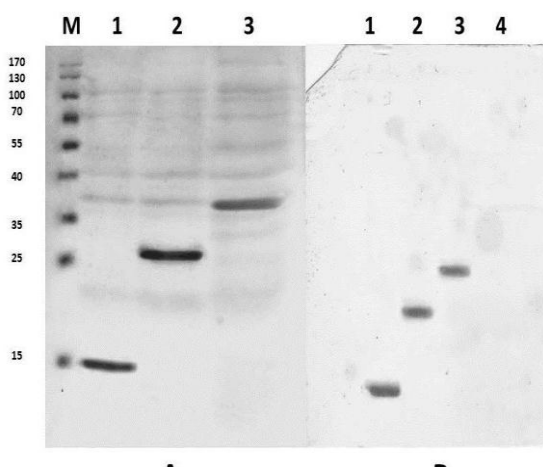
بيان و تایید ژن های ELP کلون شده در وکتور pET-MOD. پس از برش قطعات ژنی پدید آمده درون وکتور کلونینگ pUC-18، این قطعات در ناحیه مکمل pET-MOD با آنزیم SfII درون وکتور بیانی PET-ELP $[(V_7-I_3)_2$ -GRGDS] سه وکتور حاصل از برش با آنزیم SfII درون وکتور بیانی PET-ELP $[(V_7-I_3)_2$ -GRGDS] حاصل، از طریق شوک حرارتی به باکتری های مستعد شده به روش شیمیایی E.coli-B21 انتقال یافته و تولید پروتئین های

طریق رشد و جایگزینی سلول‌های آسیب‌دیده در بستری مناسب با جایگاه بافت و سلول‌های هدف صورت گیرد. داربست‌ها به گونه‌ای طراحی و ساخته می‌شوند که به صورت موقت جایگزین ماتریکس خارج سلولی شده و توانایی القاء تکثیر و اتصال سلول‌ها را داشته باشند. علاوه بر این، از داربست‌ها به عنوان ناقل‌های داروها، فاکتورهای رشد، هورمون‌ها و آنزیم‌ها عمل می‌کنند [۲۲-۲۵]. در این مطالعه با ترکیب دو زیر واحد زیست فعال و بخش پشتیبانی دهنده فیزیکی بیومتریالی متعادل از نظر ساختمان به دست آمد.

ELP مولکولی برگرفته از توالی الاستین است که به علت دارا بودن ویژگی‌های گوناگون به عنوان بخش پشتیبان ELPs بیوفیزیکی برای ساختار بیومتریال انتخاب گردید: (۱) به صورت ژنتیکی کد می‌شود و سنتز آن وابسته به ژن‌هایی است که در میزبان‌های متفاوت (سلول‌های پروکاریوتی و یوکاریوتی) قابلیت بیان دارند. قابلیت کد شدن بر پایه اطلاعات ژن‌ها باعث می‌گردد تا کنترل کاملی بر توالی اسید آمینه و وزن مولکولی بروتین بیان شونده آن وجود داشته باشد؛ در صورتی که در بیومتریال‌ها و داربست‌های سنتیک و طبیعی چنین قابلیتی وجود ندارد، (۲) بیان ELP توسط پلاسمید در میزبان کنترل می‌شود و امکان میزان بیان بالای (۵۰۰ mg/l) آن وجود دارد (در مهندسی بافت به مقدار بالایی از پلیمر نیاز می‌باشد)، (۳) تخلیص ELP نوترکیب از سلول‌های میزبان بدون نیاز به تجهیزات کروماتوگرافی و با استفاده از تکنیک‌های ساده و ارزان قابل انجام می‌باشد. ELP تحت تاثیر حرارت، تغییر فاز برگشت‌پذیر وابسته به دما می‌دهد، به این صورت که مولکول‌های ELPs با خاصیت خود تجمعی هیدروفیبیکالی با افزایش دمای بالاتر از دمای تغییر (Transition temperature: Tt)، مایع چسبناکی از مولکول‌ها را به نام coacervate تشکیل می‌دهند. این تغییر فاز برگشت‌پذیر مولکول‌های ELP امکان جداسازی آن را از محلول با استفاده از سانتریفیوز می‌دهد، (۴) توانایی تغییر در سازه پروتئین ELP به منظور ایجاد ماده ویسکوالاستیک از طریق ایجاد پیوندهای متقاطع وجود دارد، (۵) سازگاری



شکل-۵: ستون M: مارکر، ستون ۱: قطعه ۳۳۰ جفت بازی حاصل از برش وکتور $pUC18-$ ELP[(V₇-I₃)₂-GRGDS] با آنزیم p pfiMI و B glII. ستون ۲: قطعه ۶۶۰ جفت بازی حاصل از برش وکتور $pUC18-$ ELP [(V₇-I₃)₂-GRGDS] با آنزیم p pfiMI و B glII. ستون ۳: قطعه ۹۹۰ جفت بازی حاصل از برش وکتور $pUC18-$ ELP[(V₇-I₃)₂-GRGDS] با آنزیم p pfiMI و B glII



شکل-۶: تایید پروتئین تولید شده با استفاده از تکنیک SDS-PAGE (A) و تکنیک وسترن بلات (B). M: مارکر، ستون ۱: عصاره سلول‌های حاوی پلاسمید p ET-MOD- ELP[(V₇-I₃)₂-GRGDS] ₁. ستون ۲: عصاره سلول‌های حاوی پلاسمید p ET-MOD- ELP[(V₇-I₃)₂-GRGDS] ₂. ستون ۳: عصاره سلول‌های حاوی پلاسمید p ET-MOD- ELP[(V₇-I₃)₂-GRGDS] ₃. ستون ۴: کنترل منفی (سلول فاقد پلاسمید بیانی).

بحث و نتیجه‌گیری

در مهندسی بافت هدف ترمیم بافت‌های آسیب‌دیده بیمار با استفاده از داربست‌های زیستی مناسب می‌باشد تا از این

(TRAIL) به صورت RGD-TRAIL-ELP استفاده و نشان دادند که ELP علاوه بر افزایش محلولیت پروتئین، تگ مناسبی جهت تخلیص پروتئین از طریق روش غیر کروماتوگرافی است [۴۰].

در این مطالعه، با استفاده از مهندسی ژنتیک، توالی ژن مونومر سنتیک بیان‌کننده فیوژن ELP و GRGDS به صورت متواالی درون وکتور کلونینینگ pUC18 جای گرفت. پس از کلونینینگ پشت سر هم توالی‌ها، ژن‌های الیگومریزه شده بیان‌کننده ۲۰، ۲۰ و ۶۰ پنتاپتید ELP، درون وکتور بیانی pET-MOD GRGDS+ELP برای متصل شدن به یک‌دیگر و افزایش طول سازه پلی‌پپتیدی با سه رویکرد طراحی گردید: (۱) هنگام اتصال ژن‌ها جهت‌گیری سر به ته خود را حفظ نمایند، (۲) این اتصال باعث ایجاد هیچ‌گونه زیر واحد اضافی در ناحیه اتصال نشود، (۳) سایتهاشی شناسایی اصلی از REI و REII در دو انتهای ژن دایمی شده حفظ گردد ولی هیچ سایتهاشی آنژیمی در ناحیه داخلی ناحیه اتصال ایجاد نگردد.

پس از القاء سلول‌های *E.coli* حامل پلاسمید نوترکیب پروتئین‌های فیوژن نوترکیب بیان شدند و با بررسی از طریق ژل SDS-PAGE و وسترن‌بلات مورد تایید قرار گرفت. بررسی اندازه پروتئین‌های نوترکیب در مقایسه با اندازه مولکولی پیش‌بینی شده توسط ابزارهای بیوانفورماتیکی (جدول ۳) نشان داد که پروتئین‌های فیوژن ELP، حرکتی نسبتاً کنده از میزان پیش‌بینی شده درون ژل PAGE-SDS نشان می‌دهد. این افزایش غیر متعارف در مشاهده در پروتئین‌های ELP در مطالعات دیگر نیز گزارش شده است [۴۱، ۴۲]. نتایج نشان داد که الیگومریزاسیون توالی ELP روشی قدرتمند جهت تولید پلیمر پپتیدی با طول‌های متفاوت است. علاوه بر آن در این مطالعه نشان داده شده است که جایگزینی اسید آمینه‌های تکراری و هیدروفوبیک ایزولوسین و والین در پنتامر ELP به جهت کاهش دمای Tt تاثیری در بیان پروتئین نوترکیب نمی‌گذارد. پروتئین‌های نوترکیب حاصل ابزار مناسبی نوترکیب به عنوان بیومتریال در تحقیقات آتی می‌باشد.

زیستی، زیست تخریب‌پذیری و ایمونوژن نبودن آن، ELP را برای مهندسی بافت بسیار مناسب نموده است [۲۶، ۲۸-۲۶]. در مطالعات گوناگون اتصال گروه‌های فعال زیستی (KGF) [۲۹] RDEV [۳۰] insulin-like growth factor glucagone- [۳۱] factor binding protein 4 (IGFBP4) p21Waf1/Cip1-derived [۳۲] like-peptide1 (GLP-1) [۳۳] inhibitory peptide (p21) cell cycle [۳۴] (L12) قابلیت فیوژن شدن و کاربردهای متنوع زیستی این ماده را نشان می‌دهد.

در این مطالعه در کنار توالی‌های تکراری پنتامر ELP در بیومتریال نوترکیب، از توالی پنتامر GRGDS به عنوان بخش زیست فعال در ساختار بیومتریال به کار برده شد. معمولاً این توالی توسط گیرنده‌های اینتگرین‌های بتا ۱ - آلفا ۵ و بتا ۳ - آلفا ۵ شناسایی می‌شود. مطالعات نشان داده‌اند که این توالی حداقل تو سط ۱۲ گیرنده شناسایی می‌گردد [۳۵، ۳۶]. توالی GRGDS با اتصال به اینتگرین‌های سطح سلولی، باعث چهار واکنش آبشاری می‌گردد که عبارتند از: واکنش اتصال سلولی، تحریک پخش شدن سلول‌ها، تشکیل اسکلت اکتینی و تشکیل اتصالات سطحی که برای انتقال سیگنال مرتبط با رفتار سلولی و چرخه سلولی اهمیت دارد [۳۷]. Nicol و همکاران از توالی X20- poly[n(GVGVP)] با توالی poly-(GVGVP) حاصل شده، جهت اتصال و افزایش رشد اندوتیال آورت گاوی و فیبروblast نیچ لیگامنتی گاوی استفاده کردند. مطالعه آن‌ها نشان داد که پلیمر ELP بدون توالی شناسایی، توانایی کمی در اتصال سلول‌ها دارد و زیست فعال به منظور مهندسی پیوند بافت رگی ضروری است [۳۸]. Liu و همکاران از پلیمر پگیله شده ELP-RGD به منظور بررسی اتصال، پخش شدن و مهاجرت سلول‌های سیاه‌رگ بند باف انسانی استفاده کردند [۳۹]. Huang و همکاران از پروتئین نوترکیب فیوژن necrosis factor-related apoptosis-inducing ligand

[17] Hwang DS, Sim SB, Cha HJ. Cell adhesion biomaterial based on mussel adhesive protein fused with RGD peptide. *Biomaterials* 2007; 28: 4039-4046.

[18] Hersel U, Dahmen C, Kessler H. RGD modified polymers: biomaterials for stimulated cell adhesion and beyond. *Biomaterials* 2003; 24: 4385-4415.

[19] Pierschbacher MD, Ruoslahti E. Influence of stereochemistry of the sequence Arg-Gly-Asp-Xaa on binding specificity in cell adhesion. *J Biol Chem* 1987; 262: 17294-17298.

[20] Blindi R, Vogt F, Astafieva I, Fach C, Hristov M, Krott N, et al. A novel drug-eluting stent coated with an integrin-binding cyclic Arg-Gly-Asp peptide inhibits neointimal hyperplasia by recruiting endothelial progenitor cells. *J Am Coll Cardiol* 2006; 47: 1786-1795.

[21] Ferreras M, Gavilanes JG, García-Segura JM. A permanent Zn²⁺ reverse staining method for the detection and quantification of proteins in polyacrylamide gels. *Anal Biochem* 1993; 213: 206-212.

[22] Abdelaal OA, Darwish SM. Fabrication of tissue engineering scaffolds using rapid prototyping techniques. *WASET* 2011; 59: 577-585.

[23] Silva R, Fabry B, Boccaccini AR. Fibrous protein-based hydrogels for cell encapsulation. *Biomaterials* 2014; 35: 6727-6738.

[24] McDaniel JR, Callahan DJ, Chilkoti A. Drug delivery to solid tumors by elastin-like polypeptides. *Adv Drug Deliv Rev* 2010; 62: 1456-1467.

[25] Abdelaal OA, Darwish SM. Fabrication of tissue engineering scaffolds using rapid prototyping techniques. World Academy of Science, Engineering and Technology, Int J Mechanical, Aerospace, Industrial, Mechatronic and Manufacturing Engineering 2011; 5: 2317-2325.

[26] Nettles DL, Chilkoti A, Setton LA. Applications of elastin-like polypeptides in tissue engineering. *Adv Drug Deliv Rev* 2010; 62: 1479-1485.

[27] Simnick AJ, et al. Biomedical and biotechnological applications of elastin-like polypeptides. *Journal of Macromolecular Science, Part C: Polymer Reviews* 2007; 47: 121-154.

[28] Altunbas A, Pochan DJ. Peptide-based and polypeptide-based hydrogels for drug delivery and tissue engineering. *Top Curr Chem* 2012; 310: 135-167.

[29] Girotti A, Reguera J, Rodríguez-Cabello JC, Arias FJ, Alonso M, Matester A. Design and bioproduction of a recombinant multi (bio) functional elastin-like protein polymer containing cell adhesion sequences for tissue engineering purposes. *J Mater Sci Mater Med* 2004; 15: 479-484.

[30] Koria P, Yagi H, Kitagawa Y, Megeed Z, Nahmias Y, Sheridan R, Yarmush ML. Self-assembling elastin-like peptides growth factor chimeric nanoparticles for the treatment of chronic wounds. *Proc Natl Acad Sci U S A* 2011; 108: 1034-1039.

[31] Minato A, Ise H, Goto M, Akaike T. Cardiac differentiation of embryonic stem cells by substrate immobilization of insulin-like growth factor binding protein 4 with elastin-like polypeptides. *Biomaterials* 2012; 33: 515-523.

[32] Amiram M, Luginbuhl KM, Li X, Feinglos MN, Chilkoti A. Injectable protease-operated depots of glucagon-like peptide-1 provide extended and tunable glucose control. *Proc Natl Acad Sci U S A* 2013; 110: 2792-2797.

[33] Ryu JS, Raucher D. Anti-tumor efficacy of a therapeutic peptide based on thermo-responsive elastin-like polypeptide in combination with gemcitabine. *Cancer lett* 2014; 348: 177-184.

[34] Massodi I, Thomas E, Raucher D. Application of thermally responsive elastin-like polypeptide fused to a

تشکر و قدردانی

این پژوهش با استفاده از امکانات مالی و حمایتهای حوزه معاونت پژوهشی دانشگاه علوم پزشکی اراک انجام شد. بدین وسیله از حوزه معاونت پژوهشی و اعضای محترم آن تقدیر و تشکر می‌گردد.

منابع

[1] Chow D, Nunalee ML, Lim DW, Simnick AJ, Chilkoti A. Peptide-based biopolymers in biomedicine and biotechnology. *Mater Sci Eng R Rep* 2008; 62: 125-155.

[2] O'Brien FJ. Biomaterials & scaffolds for tissue engineering. *Materials Today* 2011; 14: 88-95.

[3] Bandiera A1, Sist P, Urbani R. Comparison of thermal behavior of two recombinantly expressed human elastin-like polypeptides for cell culture applications. *Biomacromolecules* 2010; 11: 3256-3265.

[4] Meyer DE, Chilkoti A. Genetically encoded synthesis of protein-based polymers with precisely specified molecular weight and sequence by recursive directional ligation: examples from the elastin-like polypeptide system. *Biomacromolecules* 2002; 3: 357-367.

[5] Chilkoti A, Dreher MR, Meyer DE. Design of thermally responsive, recombinant polypeptide carriers for targeted drug delivery. *Adv Drug Deliv Rev* 2002; 54: 1093-1111.

[6] Mithieux SM, Weiss AS. Elastin. *Adv Protein Chem* 2005; 70: 437-461.

[7] Kagan HM, Sullivan KA. Lysyl oxidase: preparation and role in elastin biosynthesis. *Methods Enzymol* 1981; 82: 637-650.

[8] Liu JM, Davidson JM. The elastogenic effect of recombinant transforming growth factor-beta on porcine aortic smooth muscle cells. *Biochem Biophys Res Commun* 1988; 154: 895-901.

[9] Debelle L, Tamburro AM. Elastin: molecular description and function. *Int J Biochem Cell Biol* 1999; 31: 261-272.

[10] Floss DM, Schallau K, Rose-John S, Conrad U, Scheller J. Elastin-like polypeptides revolutionize recombinant protein expression and their biomedical application. *Trends Biotechnol* 2010; 28: 37-45.

[11] Meyer DE, Chilkoti A. Purification of recombinant proteins by fusion with thermally-responsive polypeptides. *Nature Biotechnol* 1999; 17: 1112-1115.

[12] MacEwan SR, Chilkoti A. Applications of elastin-like polypeptides in drug delivery. *J Control Release* 2014; 190: 314-330.

[13] Saxena R, Nanjan MJ. Elastin-like polypeptides and their applications in anticancer drug delivery systems: a review. *Drug Deliv* 2015; 22: 156-167.

[14] Kyle S, Aggeli A, Ingham E, McPherson MJ. Production of self-assembling biomaterials for tissue engineering. *Trends Biotechnol* 2009; 27: 423-433.

[15] Pierschbacher MD, Ruoslahti E. Cell attachment activity of fibronectin can be duplicated by small synthetic fragments of the molecule. *Nature* 1983; 309: 30-33.

[16] Christensen T, Trabbic-Carlson K, Liu W, Chilkoti A. Purification of recombinant proteins from *E. coli* at low expression levels by inverse transition cycling. *Anal Biochem* 2007; 360: 166-168.

- [39] Liu JC, Tirrell DA. Cell response to RGD density in cross-linked artificial extracellular matrix protein films. *Biomacromolecules* 2008; 9: 2984-2988.
- [40] Huang K, Duan N, Zou W, Zhang C, Lai Y, Shen P, Hua Z. Fused hydrophobic elastin-like-peptides (ELP) enhance biological activity of tumor necrosis factor-related apoptosis-inducing ligand (TRAIL). *Protein Pept Lett* 2015; 22: 1000-1006.
- [41] MacEwan SR, Hassouneh W, Chilkoti A. Non-chromatographic Purification of Recombinant Elastin-like Polypeptides and their Fusions with Peptides and Proteins from Escherichia coli. *J Vis Exp* 2014; 88.
- [42] McPherson DT, Xu J, Urry DW. Product purification by reversible phase transition following escherichia coli expression of genes encoding up to 251 repeats of the elastomeric pentapeptide GVGVP. *Protein Expr Purif* 1996; 7: 51-57.
- lactoferrin-derived peptide for treatment of pancreatic cancer. *Molecules* 2009; 14: 1999-2015.
- [35] Lin HT, Chiou SH, Kao CL, Shyr YM, Hsu CJ, Tarng YW, et al. Characterization of pancreatic stem cells derived from adult human pancreas ducts by fluorescence activated cell sorting. *World J Gastroenterol* 2006; 12: 4529-4535.
- [36] Takagi J. Structural basis for ligand recognition by RGD (Arg-Gly-Asp)-dependent integrins. *Biochem Soc Trans* 2004; 32: 403-406.
- [37] Chen CS, Alonso JL, Ostuni E, Whitesides GM, Ingber DE. Cell shape provides global control of focal adhesion assembly. *Biochem Biophys Res Commun* 2003; 307: 355-361.
- [38] Nicol A, Channe Gowda D, Urry DW. Cell adhesion and growth on synthetic elastomeric matrices containing ARG-GLY-ASP-SER-3. *J Biomed Material Res* 1992; 26: 393-413.

Gene cassette design, cloning and expression of recombinant elastin like polypeptide to produce a functional biomaterial in tissue engineering

Mohammad Reza Soleyman (M.Sc)¹, Mostafa Khalili (M.Sc)^{2,3}, AlirezaSoleyman Meigoni (M.Sc)¹, HadiMohammadzadeh Ghasghaii (M.Sc)¹, Adib Zendedel (Ph.D)⁴, Maryam Baazm (Ph.D)^{*5}

1 - Basic Science Dept., Khomein Branch, Islamic Azad University, Khomein, Iran

2 - Blood Transfusion Research Center, High institue for research and education in transfusion medicine, Tehran, Iran

3 - Arak Regional Blood Transfusion Center, Arak, Iran

4 – Dept. of Anatomy, School of Medicine, Rasht University of Medical Sciences, Rasht, Iran

5 – Dept. of Anatomy, School of Medicine, Arak University of Medical Sciences, Arak, Iran

(Received: 1 Aug 2015; Accepted: 11 Apr 2015)

Introduction: Elastin-like polypeptide (ELP) is an artificial biopolymer and a pentapeptide with repeating motif of Val-Pro-Gly-Xaa-Gly (VPGXG). The structure is derived from extracellular cellular matrix (ECM) elastin. Protein-based polymers, which are composed of repeat units of natural or unnatural amino acids, have recently emerged as a promising new class of materials. The unique properties of ELPs such as being genetically encoded in a heterologous host (e.g., bacteria or eukaryotic cell), excitability under the influence of environmental factors, biocompatibility and biodegradability made them popular in a wide variety of biomedical applications.

Materials and Methods: In this study, 330bp GRGDS-ELP monomer gene (expressing 21 pentapeptide) was oligomerized into the cloning vector pUC to produce 990bp trimer gene (expressing 63 fusion pentapeptide). After confirming gene structure by sequencing, the gene sequence was subcloned into pET-MOD expression vector and transduced into the E.coli.

Results: Recombinant protein expression was induced by IPTG and the accuracy of the recombinant protein was confirmed by SDS-PAGE and Western blotting.

Conclusion: With mentioned method, ELP was obtained for further studies.

Keywords: Elastin, Peptides, Recombinant protein, Nanostructures, Tissue Engineering

* Corresponding author. Tel: +98 9166621131

dr.baazm@arakmu.ac.ir